

高張力鋼 熔接母三部의 疲勞時間強度에
미치는 拡散性 水素의 影響에 관한 研究

A Study on the Effect of Diffusible
Hydrogen on the Fatigue Time Strength
of the Weld Bond in the High Tensile
Strength steel



指導教授 金永植

1986年 2月

韓國海洋大學
船舶機械工學科 林珠鍾, 洪正一

目 次

1. 序 論 -----
2. 実驗方法 및 実驗裝置
 - 2.1 実驗材 및 実驗片
 - 2.2 動的 의 틱 관트 試驗法의 概要.
 - 2.3 動的 의 틱 관트 試驗裝置의 作動原理 및 実驗方法
3. 実驗結果 및 考察
 - 3.1 熔接부의 残留孔의 扩散性水素量에 따른 熔接본三部의 疲勞時間強度의 变化
 - 3.2 反復荷重变化에 따른 熔接본三部의 疲勞特性
4. 結 論

1. 序論

最近 壓力用器皿 構造物等의 安全性 確保를
위한 安全設計에 있어서 構成材料보다도 疲勞
強度가 낮은 熔接部의 疲勞破壞防止의 問題로
對頭되고 있다. 더욱이 最近의 高強度鋼材의
各種原素의 添加處理. 혹은 热處理方法의 通れ
高張力, 強靱化를 도모하고 있가 때문에 熔接
部의 機械的, 組織的 特性的劣化現象이 나
타나 이 러한 鋼材構造物의 信賴性 確保가 重
要한 問題로 자리되고 있다.

또한, 熔接時 熔接先端部에 混入되는 拗散性
水素는 遲延破裂의 原因으로 作用하는 것은
잘 알려진 事實이나 이 러한 拗散性 水素가
熔接部의 疲勞強度에 미치는 影響에 대해서는
定量的으로 研究되어 있지 않은 実情이다.

그리고, 이 러한 拗散性 水素는 靜的引張破斷
時 荷重速度에 敏感한 反應을 나타내어 材料
의 破斷強度에 크게 影響을 미친다는 事實은
이미 잘 알려져 있지만 여러가지 速度의 反
復荷重이 作用할 때, 疲勞強度에 미치는 影響
에 대해서는 定量的으로 研究되지 않은 実情
이다.

이러한 事實에 着眼하여 프랑스의 Gramjon에 의해 고안된 靜的 임플란트(Implant) 試驗機을 改良하여 만든 動的 임플란트 試驗機를 사용하여.

첫째, 括散性 水素가 熔接부드部의 疲勞強度에 미치는 영향을 조사하고

둘째, 括散性 水素를 포함하고 있는 熔接部에 있어서 反復荷重速度가 熔接부드部의 疲勞強度에 미치는 영향을 宏明할 목적으로 수행하였다



2. 実験方法 및 実験装置

2.1 試験材 및 試験片.

本 実験에 使用한 試験材로서는 海上構造物이나 船舶의 강력갑판의 舷側厚板, 강력갑판의 스트링거 등 造船用으로 使用되는 두께 20mm의 국산 RA36 비조질 高張力 鋼材로써 그 化学的 成分, 機械的 性質, 炭素當量(Ceq). 및 熔接 친感性 組成(Pcm)을 Table 1.의 样에 있다.

Table.1 Chemical compositions and mechanical properties

	Chemical compositions (%)						Mechanical prop.			Ceq (%)	Pcm
	C	Si	Mn	P	S	Nb	YS	TS	EI		
RA 36	0.15	0.45	1.38	0.24	0.02	0.0028	40	55	27	0.398	0.233

$$C_{eq} = C + \frac{Mn}{6} + \frac{Si}{24} + \frac{Cr}{5} + \frac{Nb}{40} + \frac{Mo}{4} + \frac{V}{14} (\%) \dots\dots\dots (1)$$

$$Pcm = C + \frac{Mn}{20} + \frac{Si}{20} + \frac{Cu}{20} + \frac{Nb}{60} + \frac{Cr}{20} + \frac{Mo}{15} + \frac{V}{10} + 5B \dots\dots\dots (2)$$

RA36의 母材의 化学的 成分으로부터 결정되는 Pcm은 (2)式을 이용하여 구하였다.

実験에 使用한 암플란트 試験片 및 母板의 形狀와 各 部의 치수는 Fig.1에 보이는 바와 같다.

実験에 使用한 試験片은 모두 20mm 두께의 板 中央에서 壓延方向과 一致하게 채취하였고 試験片의 노치 位置는 予備実験을 通하여 熔接先端部에 오도록 結定하였다.

또한, 母板은 SS41 軟鋼板을 使用하였다.

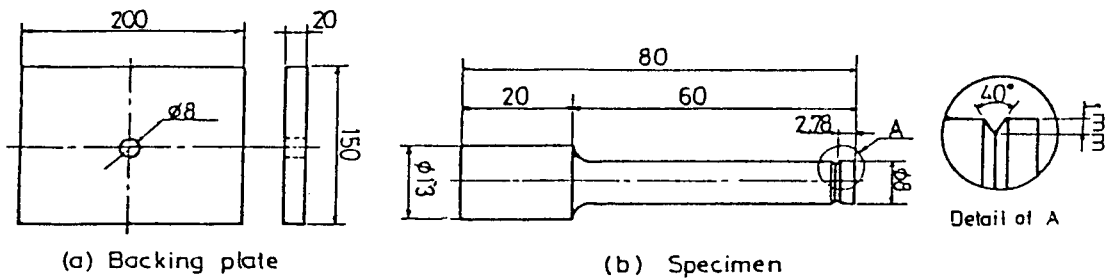


Fig.1 Shape of specimen

2.2 動的 임플란트試驗法의 概要

Fig. 3에 動的 임플란트試驗(dynamic implant test)의概要圖를 보인다.

원주 노치를 갖는 원형試驗片을 미리 加工해둔母板(Backing plate)에 挿入한 後, Table. 2와 같은 熔接條件으로 Fig. 2와 같이 試驗片上端部에 熔接비이드(bead)가 통과하도록 비이드 온 플레이드(bead on plate)熔接을 実施한다.

Table. 2 Welding conditions

Electrode	Speed (cm/min)	Current (A)	Voltage (V)	Heat input (KJ/cm)
KS E5016 X	13	170	26	20

2. 実験方法 및 実験装置

2.1 試験材 및 試験片.

本 実験에 使用한 試験材로서는 海上構造物
이나 船舶의 강력감판의 舷側厚板, 강력감판의
스트링거 등 造船用으로 使用되는 두께 20mm(?)
국산 RA36 빠조질 高張力 鋼材로서 그 化學的
的 成分, 機械的 性質, 炭素當量(Ceq), 및 熔
接 친感性 組成(Pcm)을 Table 1.에 나타내었다.

Table.1 Chemical compositions and mechanical properties

	Chemical compositions (%)						Mechanical prop.			Ceq (%)	Pcm
	C	Si	Mn	P	S	Nb	Y.S	T.S	EI		
RA 36	0.15	0.45	1.38	0.24	0.02	0.0028	40	55	27	0.398	0.233

$$C_{eq} = C + \frac{Mn}{6} + \frac{Si}{24} + \frac{Cr}{5} + \frac{Ni}{40} + \frac{Mo}{4} + \frac{V}{14} (\%) \dots\dots\dots (1)$$

$$Pcm = C + \frac{Mn}{20} + \frac{Si}{30} + \frac{Cu}{20} + \frac{Ni}{60} + \frac{Cr}{20} + \frac{Mo}{15} + \frac{V}{10} + 5B \dots\dots\dots (2)$$

RA36의 母材의 化學的 成分으로부터 결정되는
Pcm은 (2)式을 이용하여 구하였다.

実験에 使用한 試験片은 母板의
形狀과 各 部의 치수는 Fig.1에 보이는 바와
같다.

実験에 使用한 試験片은 모두 20mm 두께의
板 中央에서 壓延方向과 一致하게 채취하였고
試験片의 노치 位置는 予備実験을 通하여 熔
接先端部에 오도록 結定하였다.

또한, 母板은 SS41 軟鋼板을 使用하였다.

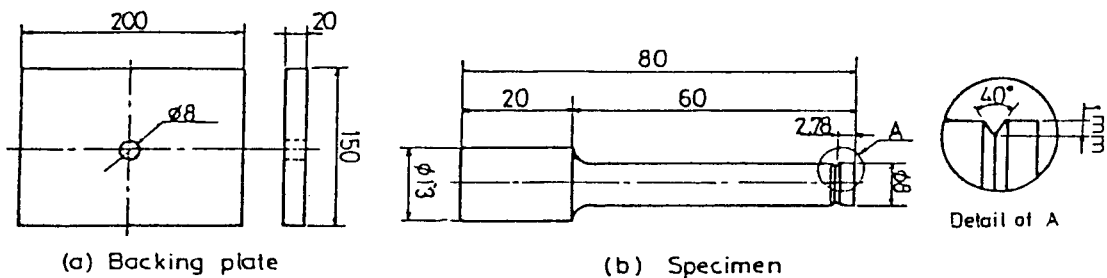


Fig.1 Shape of specimen

2.2 動的 임플란트 試驗法의 概要

Fig. 3에 動的 임플란트 試驗法 (dynamic implant test) 的概要 図를 보인다.

원주 노치를 갖는 원형試驗片을 미리 加工해 두母板 (Backing plate)에挿入한 後, Table. 2와 같은 焊接條件 으로 Fig. 2와 같이 試驗片 上端部에 焊接 베이드 (bead) 가 통과하도록 베이드 온 플레이트 (bead on plate) 焊接 을 実施한다.

Table. 2 Welding conditions

Electrode	Speed (cm/min)	Current (A)	Voltage (V)	Heat input (KJ/cm)
KS E5016 Ø 4 x 400	13	170	26	20

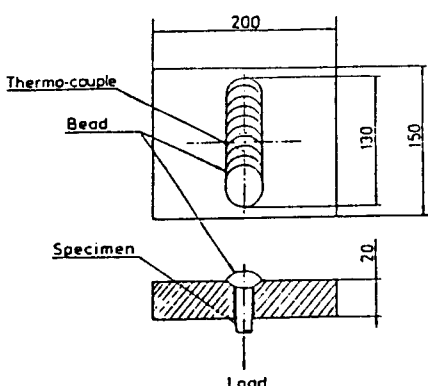


Fig.2 Shape of bead welding

이 때, 용접에 수반되는
熔接熱 사이클로 인해
試驗片上端部에 熔接
흔드부 및 热影響部(HAZ)
가再现되며 試驗片上
의 원주부 치부에 熔接
흔드부가再现되도록
하여 熔接흔드부의 疲
勞特性을 評價할 수
있도록 하였다.

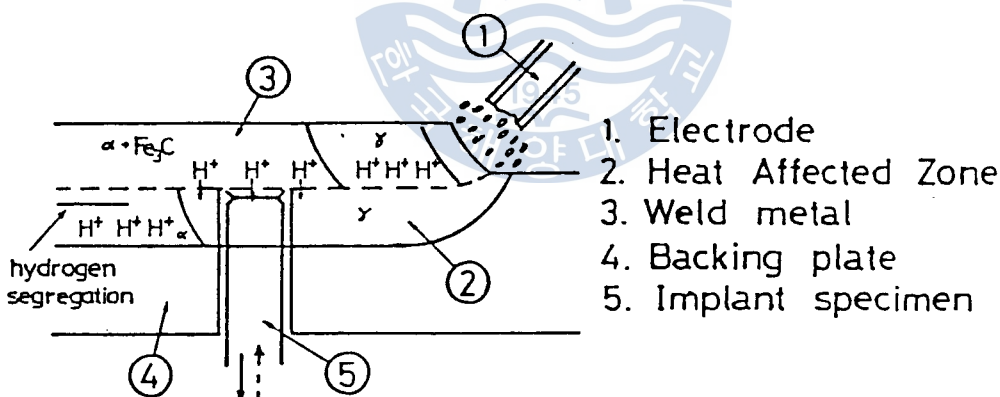


Fig.3 Method of Dynamic Implant test & the propagation
of hydrogen relative to the movement of arc

또한, 熔接棒의 被覆剤에 吸着된 水分이나
有機物 및 空氣中の 水分子에 包含되어 있는
分子相의 水素가 熔接過程中에 原子相의 水素
로 热解離하여 熔接金屬으로 吸收된다.

이렇게 吸收된 水素之 熔接部가 冷却될 때 때
라 일부는 空氣中으로 放出되며 나머지 일부
는 Fig. 3에 나타난 것처럼 熔接金屬과 母材의
連續的인 變態特性에 의한 水素溶解度에 의존
하여 熔接熱影響部(HAZ)에 分布하게 된다.

2.3 動的 임플란트 試驗裝置의 作動原理及 實驗方法

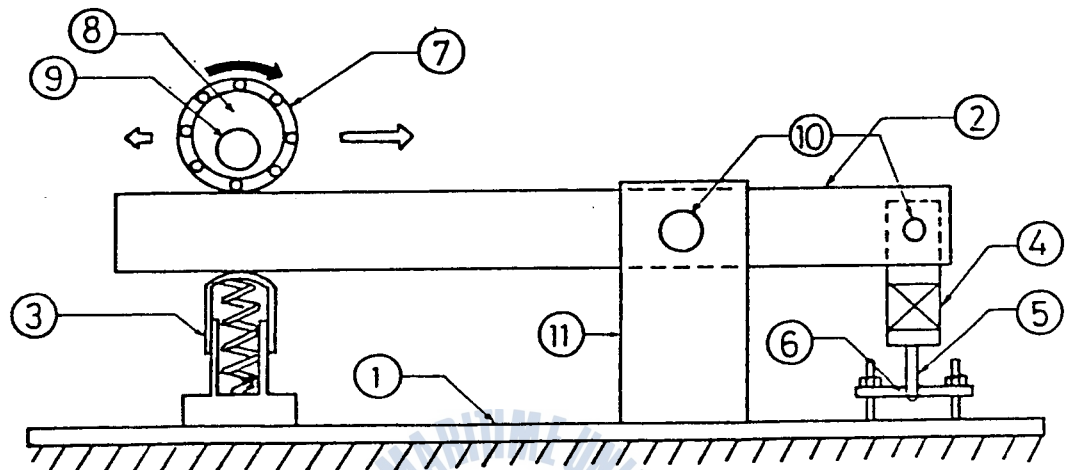
photo.1 및 Fig.4는 動的 임플란트 試驗機의 外觀
및 概略圖를 각각 나타내었다.
그 作動原理를 說明하면, 母板과 試驗片을 Fig.4
같이 빼이드 몽 플레이트 熔接을 實施한 後,
Fig.4의 (5),(6)과 같이 장착하고 試驗機의 片
心輪(8)을 回轉시켜 연결봉(2)의 좌측 끝단부의
上下運動을 유발시킨다. 이러한 상하운동은 연결봉(2)을 通過 試驗片에 傳達되어 試驗片에
片板引張反復荷重이 作用하도록 하였다.
또한, 片心輪을 Fig.4에 表示된 方向으로 좌우 이동시 으로서 試驗片에 作用하는 引
張反復荷重의 크기를 조절할 수 있도록 考慮되어 있다.

이상과 같은 実驗方法을 通하여 熔接본드部의
疲勞破斷強度에 미치는 拡散性 水素의 영향을
評價하기 위하여 熔接實施後 反復荷重이 부하

되기 까지의 放置時間은 알리하여 (熔接道後,
熔接後 1時間放置) 熔接部에 残留 하드 抗散性
水素量을 制御해 가면서 実験을 行복하고, 之
간, 反復荷重速度에 따른 熔接본드部의 疲勞特性을
定量的으로 究明하기 위하여 試驗機의
驅動裝置에 1/5의 加速裝置를 付着하여 疲勞強
度는 20 cpm, 200 cpm, 800 cpm으로 變速시켜 実験을
行복한다.



Photo.1 General view of dynamic
implant tester



- | | | |
|--------------------|-------------------|-------------------------------|
| 1. Base | 7. Ball bearing | 13. Counter unit |
| 2. Connecting bar | 8. Eccentric ring | 14. Motor |
| 3. Reacting spring | 9. Shaft | 15. Reducing worm gear box |
| 4. Load cell | 10. Pin | 16. Automatic circuit breaker |
| 5. Specimen | 11. Supporter | 17. Strain amplifier |
| 6. Backing plate | 12. Sensor | |

Fig.4 Schematic diagram of dynamic implant tester

3. 実験結果 및考察.

3.1 熔接部에 残留하는 拠散性水素量에 따른 熔接본드部의 疲労時間強度의 变化

Fig.5는 熔接棒을 $350^\circ \times 1\text{ hr}$ 의 전조조건으로 전조시켜 Fig.2와 같이 熔接을 実施한 後 放置時間은 달리함으로서 熔接部에 残留하는 拠散性水素量을 制御하여 残留水素量에 따른 熔接본드部의 疲労破壊应力과 反復回数와의 관계를 나타낸 그림이다. 이때, 反復荷重速度는 모두 200cpm 으로 하였다.

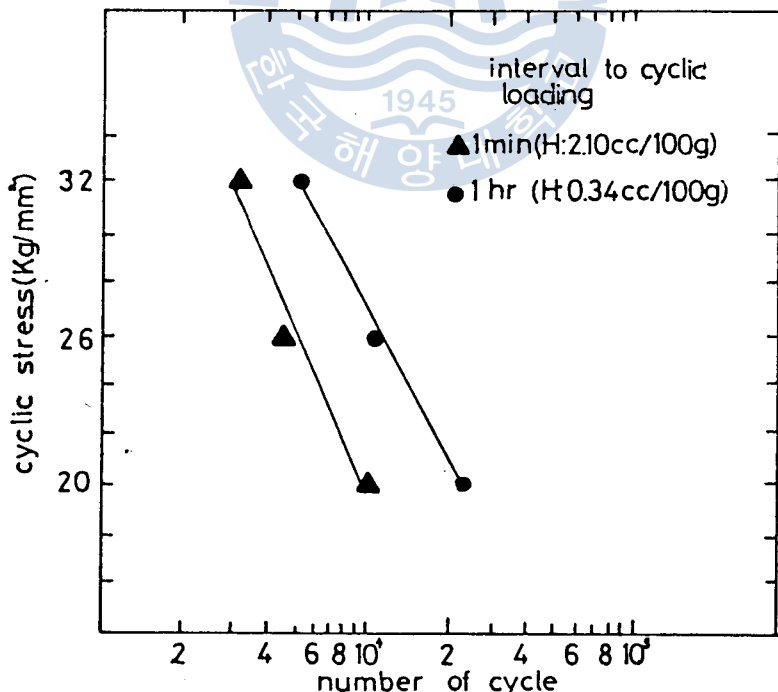


Fig.5 Cyclic stress vs. number of cycle with the change of hydrogen quantity in Dynamic Implant test(200cpm)

여기서 熔接後 放置時間에 따른 残留拡散性
水素量은 JIS Z 3113 - 1975 의 흘리 세린 치환법에 의해
測定한 結果를 Fig. 6에 과라내었다.

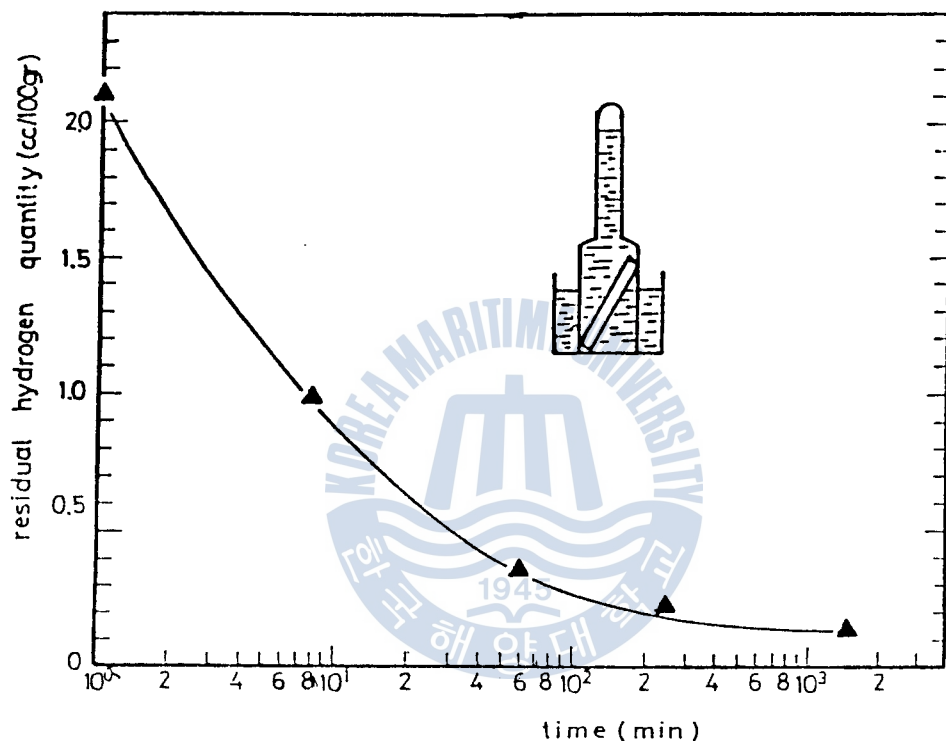


Fig. 6 Measurement of residual hydrogen by means of Glycerin method

Fig. 6에서 나타낸 바와 같이 熔接直後에는 熔着
金屬 100gr 당 拡散性水素量은 2.1cc로 测定되었으나
熔接後 1時間 放置하면 그 일부가 空氣中에
放出되어 熔接部에 残留하는 拡散性水素量은
급격히 감소하여 $0.34\text{cc}/100\text{gr}$, 24時間 放置後는
 $0.19\text{cc}/100\text{gr}$ 으로 测定되었다.

Fig.5의結果에 의하면 熔接後 負荷까지의放置時間에 따라 熔接部에 残留하는 抗散性水素量의 变化에 의해 熔接본드部의 破斷時間強度는 顯著히 영향을 끼고 있음을 알 수 있다. 즉, 反復回數 1×10^4 사이클을 기준으로 하여 比較하면 熔接直後 反復荷重을 負荷하여 残留抗散性水素量을 2.1cc/100gr으로 하였을 경우의 破斷時間強度는 20 kg/mm^2 정도로 되나 熔接後 1時間放置後 残留抗散性水素量을 0.34cc/100gr으로 負荷하면 破斷時間強度는 21 kg/mm^2 정도로 向上되며 熔接後 放置時間은 증가시켜면 이 증가량은 더욱 커지고 있음을 보이고 있다.

photo.2는 熔接을 実施한 後 1時間 放置하여 200cpm에서 最大反復应力를 32 kg/mm^2 으로 負荷하여 5×10^3 사이클에서 파단된 破面(a)와 20 kg/mm^2 의 最大反復应力의 조건에서 3.5×10^4 사이클 後에 파단된 破面(b)를 走査型電子顯微鏡으로 관찰한 破面의 樣相을 보인 것이다.

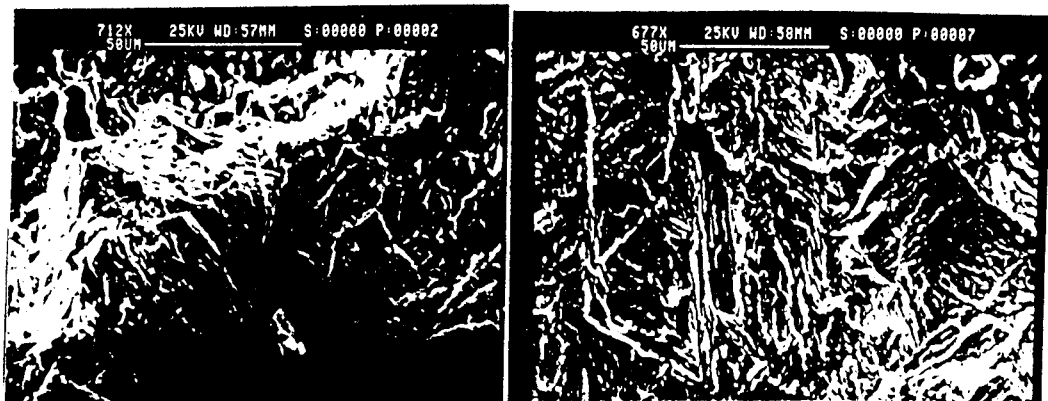
photo.2에 의하면 32 kg/mm^2 , 5×10^3 사이클의 高应力低사이클疲勞에서 파단된 破面上에는 疲勞破面의 특징인 스트라이에이션(striation)以外에 疑壁開(Quasi-Cleavage)破面이 많이 나타나 水素誘起脆弱壁開寸法 進展結構가 進展舉動에 크게 영향을 미치고 있음을 알 수 있다.

이에 비해, 低應力高사이클에서 破斷된 破面에는 水素誘起 疑壁開破面도 簡易的으로 관찰되어지며 주로 스트라이에이션 疲勞壊壊에 進展構構에 의해 疲勞壊壊이 이후 어지간 많음을 관찰할 수 있다.

photo.3은 反復應力を 26kg/mm^2 로 일정히 하고 熔接後 放置時間은 알리한 조건으로서 熔接部에 残留하는 拗散性水素量을 $2.1\text{cc}/100\text{gr}$ 과 $0.34\text{cc}/100\text{gr}$ 으로 알리한 조건에서 実驗하여 그 破斷面을 比較하여 보인 것이다.

이에 의하면 熔接直後의 拗散性水素量은 $2.1\text{cc}/100\text{gr}$ 으로 많이 内在하고 있는 疲勞破面은 水素誘起 疑壁開破面이 대부분을 차지하며 簡易的으로 스트라이에이션 나타난다. 그리고 拗散性水素量이 $0.34\text{cc}/100\text{gr}$ 이 内在하고 있는 1時間放置後의 疲勞破面은 水素誘起 疑壁開破面과 스트라이에이션과 같이 内在하고 있음을 알 수 있다.

이와 같이, 高應力低사이클 疲勞에서 疲勞壊壊에 水素誘起 疑壁開破壊構構가 顯著한 경향을 나타내는 것은 다음과 같이 考察된다. 먼저, 水素에 의한 疑壁開破壊構構를 생각하면, Fig.7의 모델에 따른다고 생각된다.



(a)

Smax : 32 Kg/mm²

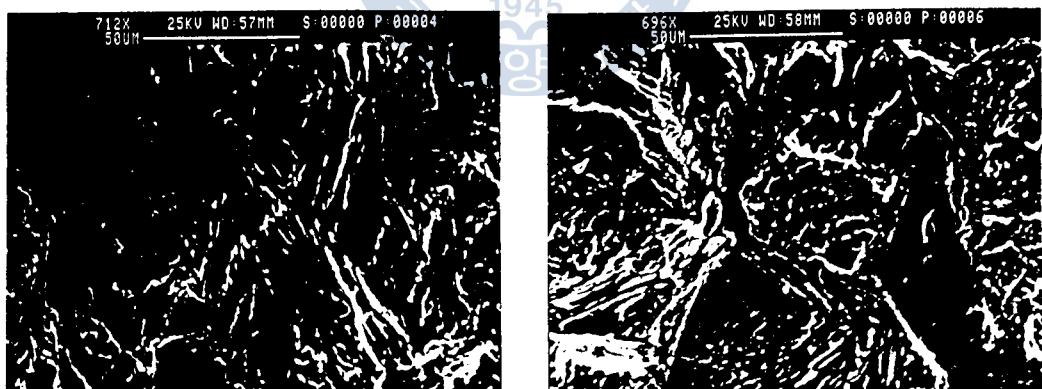
N_f : 5x10³cycle

(b)

Smax: 20Kg/mm²

N_f : 2.5x10⁴cycle

Photo.2 Micro-fractographs with the change
of cyclic stress level under same
quantity of residual hydrogen
(H:0.34cc/100gr)



(a)

H: 2.1cc/100gr

(b)

H:0.34cc/100gr

Photo.3 Micro-fractographs with different leaving time
after welding under same cyclic stress level
(Smax: 26Kg/mm²)

熔接部分의 疲勞裂紋은 스트라이에이션 (striation) 과 水素誘起疑壁開, 裂紋進展機構로 分流 할 수 있다.

水素誘起疑壁開 裂紋進展驅動을 생각하면 式 (3.1) 은 주어지는 조건에서 裂紋進展은 이루어 진다고 思料된다.

$$\sigma_a [\pi(c+c_1)]^{\frac{1}{2}} \geq F_m(C_H) \quad \dots \dots \dots (3.1)$$

여기서, σ_a ; applied stress

c : main crack length

c_1 : crack length of microcavity

C_H : average hydrogen concentration per unit area

F_m : cohesive force the lattice.

式 (3.1) 을 도식화하면 Fig. 7 과 같아 된다.

즉, 裂紋先端에 形成되는 3軸應力場에 水素가 拡散集結되어 이것이 一定臨界值에 도달하면 裂紋先端의 格子間 凝集強度 ($F_m(C_H)$)는 裂紋先端의 破斷強度 ($\sigma_a[\pi(c+c_1)]^{\frac{1}{2}}$) 以下로 低下되어 미소裂紋이 發生한다. 이래한 미소裂紋은 主裂紋과 連結되어 遠진적인 裂紋進展이 이루어진다. 이때, 관련된 水素는 空氣中으로 放出된다. 이와 같은 裂紋진전모델에 있어서 試驗片에 걸리는 應力이 高應力일 경우는 格子間 凝集強度를 低下시켜 미소裂紋을 유발시킬 수 있는 어떤 임계량

의 수소가 단시간에 形成되어 疲勞進展
擊動에 주로 水素誘起疲勞開破壞機構가 지배
적으로 일어날 수 있으나 低應力의 경우는
이것이 용이하게 이루어지지 않고 스트라이에
이전 構構가 疲勞進展擊動에主流을 이룬
다고 생각된다.

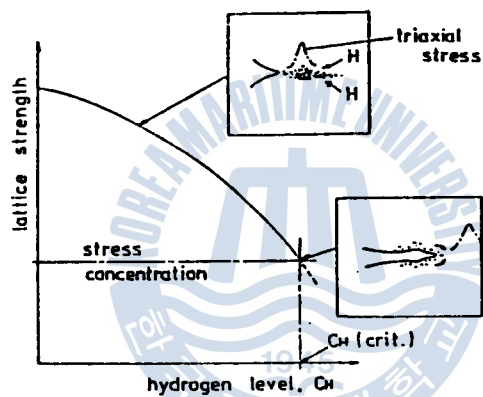
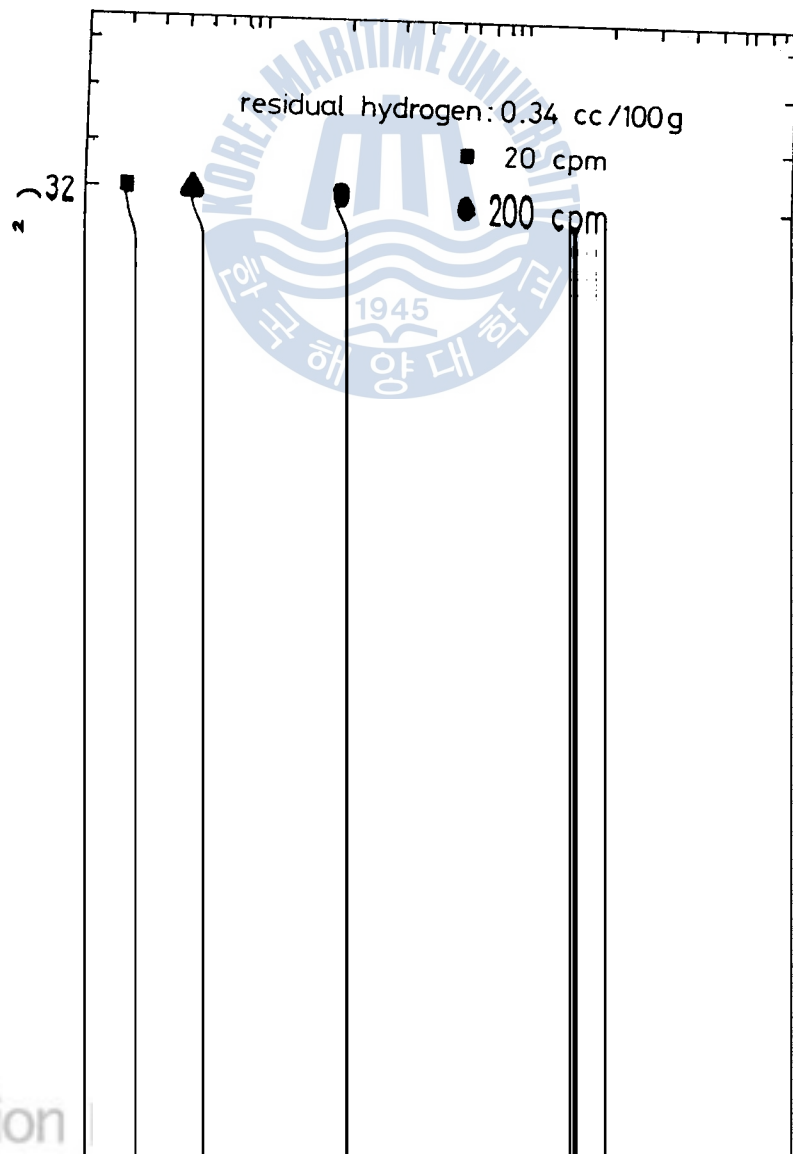


Fig. 7 Schematic diagram to illustrate equation (3.1)

3.2 反復荷重速度变化에 따른 焊接본드부의 疲勞特性

一般的으로 疲勞限度에 대한 反復荷重速度의
영향은 忽視되고 있지만 S-N 曲線의 形이나
이에 따른 時間強度에 대해서는 顯著한 영향
을 미친다고 알려져 있다



의 수소가 단시간에 形成되어 疲勞進展
擊動에 주로 水素誘起疲勞開破壊構構가 지배
적으로 일어날 수 있으나 他應力의 경우는
이것이 용이하게 이루어지지 않고 스트라이에
이전 構構가 疲勞進展擊動에主流을 이룬
다고 생각된다.

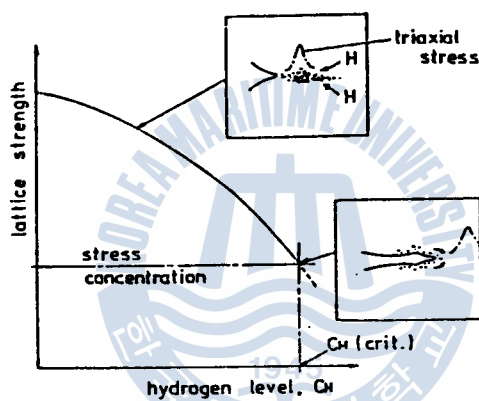


Fig. 7 Schematic diagram to illustrate equation (3.1)

3.2 反復荷重速度变化에 따른 熔接본드부의 疲勞特性

一般的으로 疲勞限度에 대한 反復荷重速度의
영향은 忽視되고 있지만 S-N 曲線의 形이나
이에 따른 時間強度에 대해서는 顯著한 영향
을 미친다고 알려져 있다

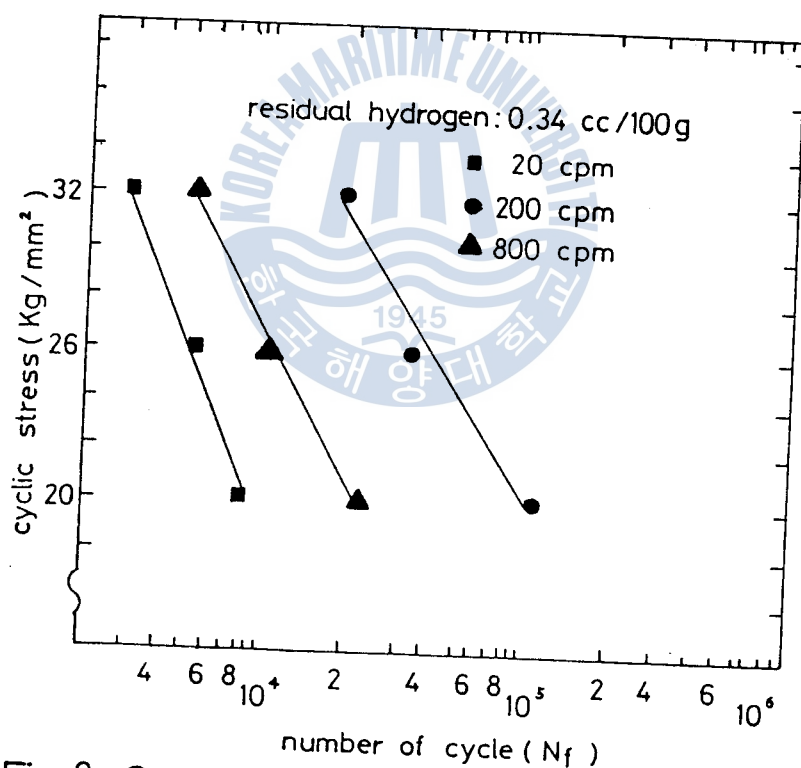


Fig.8 Cyclic stress vs. number of cyclic with
the change of fatigue rate

Fig. 8은 焊接棒을 $350^\circ \times 1\text{hr}$ 의 전조 조건으로, 전조시켜 焊接을 実施한 後, 常溫에서 1時間 放置하여 焊接部에 残留하는拠散性水素量을 焊着金属 100gr 당 0.34cc로 일정하게 유지시킨 後 反復荷重速度를 20 cpm에서 800 cpm까지 변화시켰을 경우, 焊接본드부의 破斷싸이클數와 反復应力과의 관계를 나타낸 그림이다.

Fig. 8에 나와난 바와 같이 反復荷重速度의 변화에 따라 焊接본드부의 破斷時間強度는 頗著하게 变化되고 있음을 알 수 있다. 즉, 2×10^4 싸이클에서 破斷時間強度를 比較해 보면 20 cpm의 경우는 그림에 나와나지 않을 정도로 매우 낮은 수준을 보일 것이다. 예상되고 200 cpm으로 反復荷重이 증가하면 그 疲勞破斷時間強度는 21.5 kg/mm^2 으로 증가하고 있다. 500 cpm으로 反復速度가 더욱 증가될 경우는 31 kg/mm^2 으로 그 증가량은 더욱 커지고 있음을 알 수 있다.

Fig. 9는 Fig. 8에서 얻어진 결과를 가지고 反復速度의 영향을 더욱 定量的으로 評價하기 위해 여러 가지 反復应力水準에 있어서 破斷싸이클數와 反復速度와의 관계를 나타낸 그림이다.

Fig. 9에 나와난 바와 같이, 같은 反復应力下에서도 反復速度는 焊接본드부의 疲勞破斷싸이클數에 頗著한 영향을 미치고 있음을 알 수

쳤다.

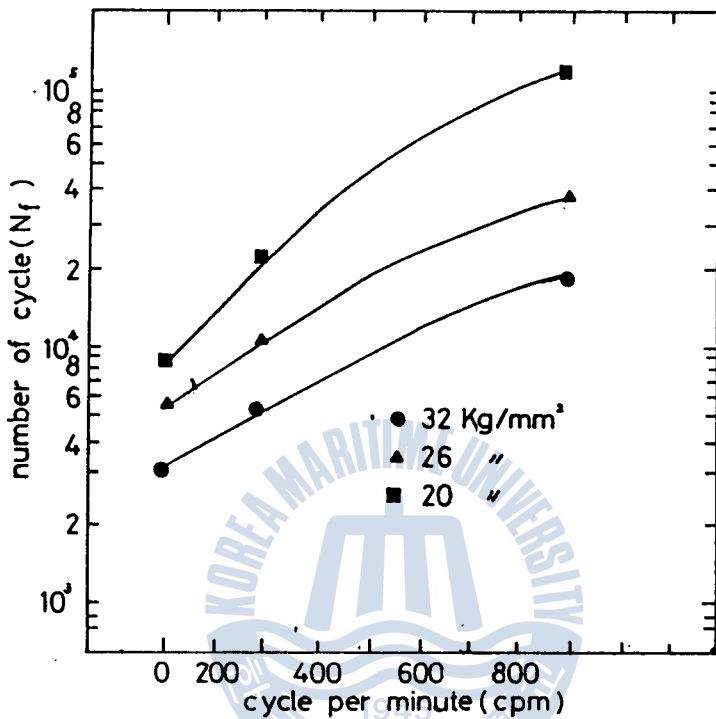


Fig. 9 Number of cycle to the fracture vs. cycle per minute with the change cyclic stress level

즉, 最大反復應力이 26 Kg/mm^2 으로 作用할 경우.
低速인 20 cpm 에서 그 破斷사이클수는 불과 6×10^3
사이클 정도 뿐에 되지 않으나 200 cpm 으로 速度
를 증가시키면 그 破斷사이클수는 1×10^4 사이
클로 증가하고 800 cpm 으로 速度를 더욱 증가시
키면 20 cpm 의 경우보다 약 6.5배정도인 4×10^4 사이
클로 그 破斷사이클수는 反復速度가 증속됨에
따라 증가되는 경향을 알 수 있다.

또한, 実驗範圍인 20 cpm에서 800 cpm까지의 破斷
사이클 增加幅은 亾應力 일수록 커지고 있다.
그리고, 一定反復應力下에서의 頻率 破斷사이
클 수의 增加幅은 어떤 反復速度之下에서의 增
加幅에 크게 의존하고 있음을 알 수 있다.

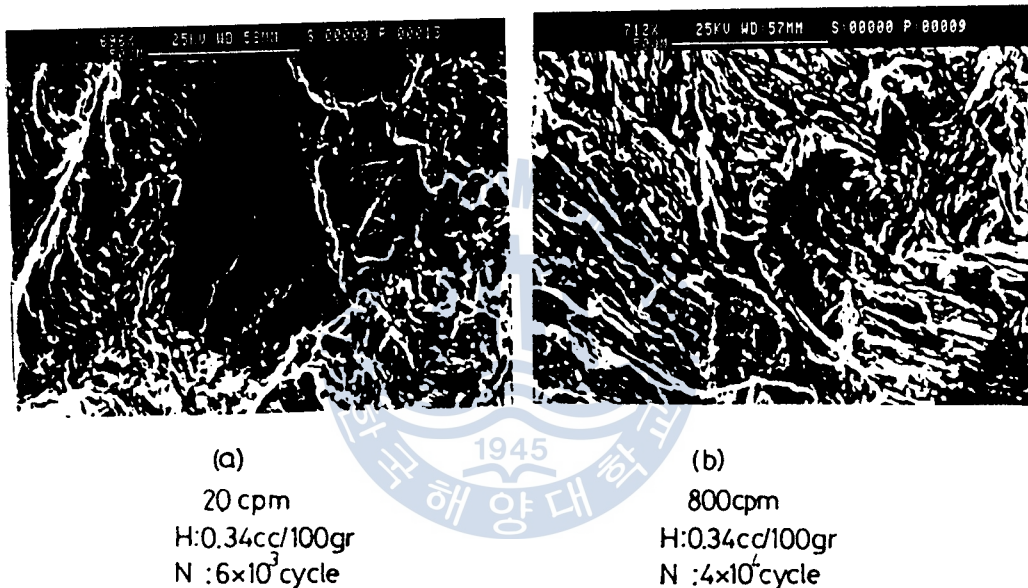


Photo.4 Micro-fractographs with the change
of fatigue rate under same cyclic
stress level(S_{max} :26 Kg/mm²)

photo.4는 같은 最大反復應力條件, 즉, 26 kg/mm²의
응력이 作用할 경우 亾速인 20 cpm에서 6×10^3 사이
클 後에 破斷된 焊接母材部의 破面 (a)와 800 cpm
에서 4×10^4 사이클에서 破斷된 破面 (b)를 走査型
電子顯微鏡으로 관찰한 破面들이다.

이에 의하면 他速의 20 cpm에서 破斷된 破面
상에는 水素誘起凝壁開破面이 많이 나와
있으나, 800 cpm에서 破斷된 破面은 水素誘起凝壁
開破面이 20 cpm의 경우보다 작게形成되었음을
알 수 있다.

以上의 破面考察結果, Fig. 9에서 反復速度가
낮아짐에 따라 破斷時間強度가 작아지는 것
은 다음과 같은 原因때문인 것으로 생각된다.
즉, 反復速度가 他速경우록 最大荷重이
作用하는 時間이 그 만큼 오랫동안 유지되
어 이로 인해 1사이클당 전열先端으로 축적
되는 水素量이 많게되어 水素誘起凝壁開破壞를
유발시킬 수 있는 臨界水素量이 反復速度가
높은 경우보다 용이하게 形成될 수 있기 때문
이다.

4. 結 論

비조질 高張力鋼材의 RA 36 鋼材에 대해서
熔接時 熔接部에 残留하는 扩散性水素量을 制
御하여 水素量의 变化에 따른 熔接部의 疲勞
破斷時間強度를 調査하였다.

또한, 一定量의 水素가 残留한 條件下에서
反復速度變化에 따른 疲勞破斷時間強度를 調査
하였다.

實驗之 動的 임플란트 試驗裝置를 이용하였다.
本研究에서 얻어진 結果들을 要約하면 다
음과 같다.

1. 熔接본드부의 高应力 하에서 疲勞破斷強
度는 残留하는 水素量에 敏感하게 영향을
받는다.

2. 一定한 初期殘留水素量下에서 疲勞を 發進
시킬 水素誘起裂縫開破壞機構과 스트라이
에이션 構構에 의해서 이루어진다.

3. 反復荷重速度의 變化는 熔接본드부의 疲
勞破斷時間強度에 显著하게 영향을 미친다.

